

# 溴化丁基橡胶的硫黄硫化反应动力学研究

李 新, 李培军, 张 萍\*

(青岛科技大学 橡塑材料与工程教育部重点实验室, 山东 青岛 266042)

**摘要:** 研究溴化丁基橡胶(BIIR)的硫黄硫化反应动力学。结果表明: 硫黄/促进剂 DM、硫黄/氧化锌、硫黄/硫黄/促进剂 DM、硫黄/氧化锌和硫黄/促进剂 DM/氧化锌硫化反应活化能依次减小; 硫黄/促进剂 DM/氧化锌硫化 BIIR 硫化胶的综合物理性能较好, 协同硫化作用明显。

**关键词:** 溴化丁基橡胶; 硫黄硫化体系; 硫化反应动力学

中图分类号:TQ333.5 文献标志码:A 文章编号:1000-890X(2014)10-0581-05

溴化丁基橡胶(BIIR)由溴分子与丁基橡胶在一定条件下反应制得, 其分子链上含有双键, 又含有反应性的溴, 因此可以有多种硫化方式。硫黄硫化体系在 BIIR 硫化中占有十分重要的地位, 硫黄硫化包含单独硫黄和硫黄/促进剂两大类, 一般橡胶的硫黄硫化作用机理都按照传统的硫黄硫化机理来分析<sup>[1]</sup>, 但当硫黄硫化 BIIR 时, 其各组分的相互作用机理还不明确<sup>[2-3]</sup>。

本工作从硫化动力学和硫化特性方面研究 BIIR 硫黄硫化体系中各组分对硫化速率、活化能及硫化胶性能的影响, 以期为进一步了解硫黄硫化 BIIR 机理提供基础数据。

## 1 实验

### 1.1 主要原材料

BIIR, 牌号 2030, 门尼粘度[ML(1+8)125 °C]为 30±4, 数均相对分子质量为 40 万, 溴质量分数为 0.018±0.002, 每克 BIIR 中含有约为 0.15 mmol 烯丙基溴, 德国朗盛化学有限公司产品; 石蜡油, 牌号 Sunpar 2280, 美国太阳石油公司产品; 炭黑 N660, 青岛赢创化学有限公司产品。

### 1.2 试验配方

试验配方如表 1 所示。

### 1.3 主要设备和仪器

500 mL XSM-500型啮合式密炼机, 上海科

**作者简介:** 李新(1986—), 女, 山东菏泽人, 硕士, 主要从事橡胶加工和性能研究, 现就职于日照沪鸽齿科工业有限公司。

\* 通信联系人

表 1 试验配方

组 分	硫化体系				份
	A	B	C	D	
硫黄	0.5	0.5	0.5	0.5	
促进剂 DM	0	1.3	0	1.3	
氧化锌	0	0	3	3	

注: 配方其余组分和用量为 BIIR 100, 炭黑 N660 60, 硬脂酸 1, 石蜡油 7。

创橡塑机械设备有限公司产品; SK-160B 型两辊开炼机, 上海第一橡胶机械厂产品; MDR2000 型无转子硫化仪, 美国阿尔法科技有限公司产品。

### 1.4 试样制备

采用啮合式密炼机进行一段混炼, 初始温度 80 °C, 转子转速 80 r·min<sup>-1</sup>, 混炼工艺为: 生胶  $\xrightarrow{1.5 \text{ min}}$  1/2 炭黑、硬脂酸  $\xrightarrow{2.8 \text{ min}}$  1/2 炭黑、石蜡油  $\xrightarrow{5.2 \text{ min}}$  清扫  $\xrightarrow{7 \text{ min}}$  排胶(125 °C 左右)。一段混炼胶和其他配合剂在开炼机上进行二段混炼, 温度控制在 40 °C 以下, 时间控制在 10 min 内。

胶料在平板硫化机上硫化, 硫化条件为 166 °C  $\times$  (t<sub>90</sub> + 5 min)。

### 1.5 测试分析

#### 1.5.1 硫化特性

采用无转子转矩硫化仪按 GB/T 9869—1997 进行测试, 试验温度为 156 和 166 °C。利用自催化反应动力学模型和 Origin 8.0 软件对采集并处理后的硫化反应曲线进行非线性拟合。

#### 1.5.2 物理性能

邵尔 A 型硬度按 GB/T 531—2008 进行测

试;拉伸性能和撕裂性能采用电子拉力机分别按 GB/T 528—2009 和 GB/T 529—2008 进行测试,拉伸速率为  $500 \text{ mm} \cdot \text{min}^{-1}$ ,撕裂强度试样为直角形。

### 1.5.3 交联密度

裁取厚度约为 2 mm 的硫化胶试样,质量约为 50 mg,将试样放入盛有 50 mL 正己烷的带塞磨口广口瓶中,在室温下放置一周,达到溶胀平衡后取出,放入称量瓶中采用分析天平称其质量,然后在 60 ℃ 的干燥箱中干燥 24 h,然后再称其质量。硫化胶交联密度采用 Flory-Rehner 公式计算<sup>[4]</sup>。

## 2 结果与讨论

### 2.1 硫化特性

图 1 所示为 166 ℃ 下不同硫黄硫化体系胶料的硫化曲线。

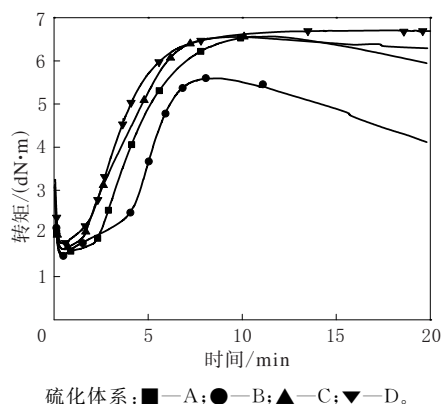


图 1 不同硫黄硫化体系胶料的硫化曲线

从图 1 可以看出,单独硫黄硫化 BIIR 胶料出现了明显的硫化返原现象,单独硫黄硫化 BIIR 时生成的交联键为多硫键<sup>[3]</sup>,由于多硫键在高温下不稳定,易生成单硫键和双硫键<sup>[1]</sup>,因此易出现硫化返原现象。通常在二烯烃类橡胶中,促进剂 DM 可增大硫黄硫化速率,并显著提高硫化曲线的平坦性。但对 BIIR 来说,促进剂 DM 加入后并未加速硫化或使硫化曲线变平坦,反而使焦烧时间延长,  $M_H$  和  $\Delta M$  减小,这是由于 BIIR 优先与促进剂 DM 发生加成反应,且加成化合物在高温下较稳定,因此已发生反应的 BIIR 不再与硫黄发生反应<sup>[3]</sup>,阻碍硫化反应的进行。硫黄/氧化锌硫化胶料的焦烧时间缩短,  $M_H$  和  $\Delta M$  减小,但其硫化曲线比单独硫黄硫化胶料更平坦,硫化返原

程度降低,这可能是由于氧化锌起到了活化剂的作用,同时也参与硫化,形成了较为稳定的 C—C 交联键的缘故<sup>[5]</sup>。与硫黄/促进剂 DM 硫化体系相比,硫黄/促进剂 DM/氧化锌硫化体系的焦烧时间和硫化时间缩短,  $M_H$  增大,无硫化返原现象;与硫黄/氧化锌体系相比,硫黄/促进剂 DM/氧化锌体系硫化胶料的焦烧时间和正硫化稍有延长,硫化曲线更平坦,  $M_H$  基本不变,说明该体系中促进剂 DM 也先于硫黄与 BIIR 发生反应,稍微延迟了硫化反应的进行。

综上所述,硫黄/促进剂 DM/氧化锌会产生明显的协同效应,氧化锌能硫化 BIIR 生成稳定的 C—C 交联键,而硫黄与 BIIR 反应可能并没有生成多硫键,只生成较为稳定的单硫键和双硫键,从而明显改善胶料的抗硫化返原性。

### 2.2 硫化动力学

由于硫化机理的复杂性和分析方法的限制,橡胶硫化动力学反应机理还没有完全分析清楚<sup>[6]</sup>。从各种不同的角度来考察橡胶硫化动力学,产生了多种表征方法及数学模型<sup>[7]</sup>。硫化仪曲线法简便、快速,硫化曲线从诱导期(从最低转矩值上升一个转矩值)到最大转矩之间是一段光滑的、无转折点的曲线,可以认为该阶段的反应机理没有发生变化,可用一个动力学方程来表示,一般硫化反应遵循自催化模型<sup>[8]</sup>。因此可以通过不同时刻的转矩值来表征对应时刻的相对交联程度( $\alpha$ )。

$$\alpha = (M_t - M_0) / (M_H - M_0) \quad (1)$$

式(1)中  $M_t$  为  $t$  时刻的转矩值,  $M_0$  为焦烧时间对应的转矩值。硫化速率( $d\alpha/dt$ )计算公式为:

$$d\alpha/dt = k(T) \cdot f(\alpha) \quad (2)$$

式(2)中  $t$  为硫化时间,  $k(T)$  为硫化反应速率常数,  $f(\alpha)$  为与硫化机理相关的函数。

$$k(T) = k_0 \exp(-E/RT) \quad (3)$$

式(3)中  $k_0$  为频率因子,  $E$  为反应活化能,  $T$  为温度,  $R$  为气体常数。对于自催化反应,  $f(\alpha) = \alpha^m (1-\alpha)^n$ ,  $m$  和  $n$  为反应级数,代入式(2)得硫化速率公式如下:

$$d\alpha/dt = k(T) \alpha^m (1-\alpha)^n \quad (4)$$

根据硫化曲线得出  $\alpha$  与  $t$  的关系,然后进一步得出  $d\alpha/dt$  与  $\alpha$  的关系,并采用自催化模型公式对所得的数据进行拟合,156 和 166 ℃ 下不同

硫化体系的 BIIR 胶料硫化动力学分析分别如图 2 和 3 所示。硫化反应速率常数  $k(T)$ 、反应级数  $m$  和  $n$  及拟合相关系数如表 2 所示。

从表 2 可以看出, 拟合相关系数均不小于 0.97, 表明试验结果与理论模拟结果具有较强的相关性, 自催化动力学模型可以描述 BIIR 在硫黄、氧化锌和促进剂 DM 作用下的硫化行为。

从表 2 还可以看出, 随着温度的升高, 4 种体系的硫化反应速率常数均增大, 这是由于温度升高, BIIR 与各组分的反应活性增强, 因此硫化速率增大。在相同温度下, 硫化速率常数按硫黄/促进剂 DM、硫黄/氧化锌、硫黄、硫黄/促进剂 DM/氧化锌依次增大。也就是说加入促进剂 DM 或

氧化锌都会使硫黄硫化 BIIR 的硫化速率减小, 而当硫黄、促进剂 DM 和氧化锌并用时, 则使硫化速率增大, 这进一步说明这三者同时使用会发生协同效应。从反应级数来看, 4 种硫化体系的反应级数  $n$  各不相同, 但比较接近, 而  $m$  则差别较大, 尤其是硫黄/促进剂 DM/氧化锌体系的  $m$  在 166 °C 时只有 0.13, 156 °C 时更低(只有 0.004), 明显低于其他 3 种硫化体系。此外, 随着温度的升高, 单独硫黄硫化体系的  $m$  减小、 $n$  增大; 而其他硫化体系的  $m$  和  $n$  均增大。这表明尽管这 4 种硫化体系硫化 BIIR 均属于自催化反应, 但其反应机理仍存在差别, 需进一步进行研究。

对式(3)进行推导, 得到采用硫黄、硫黄/促进

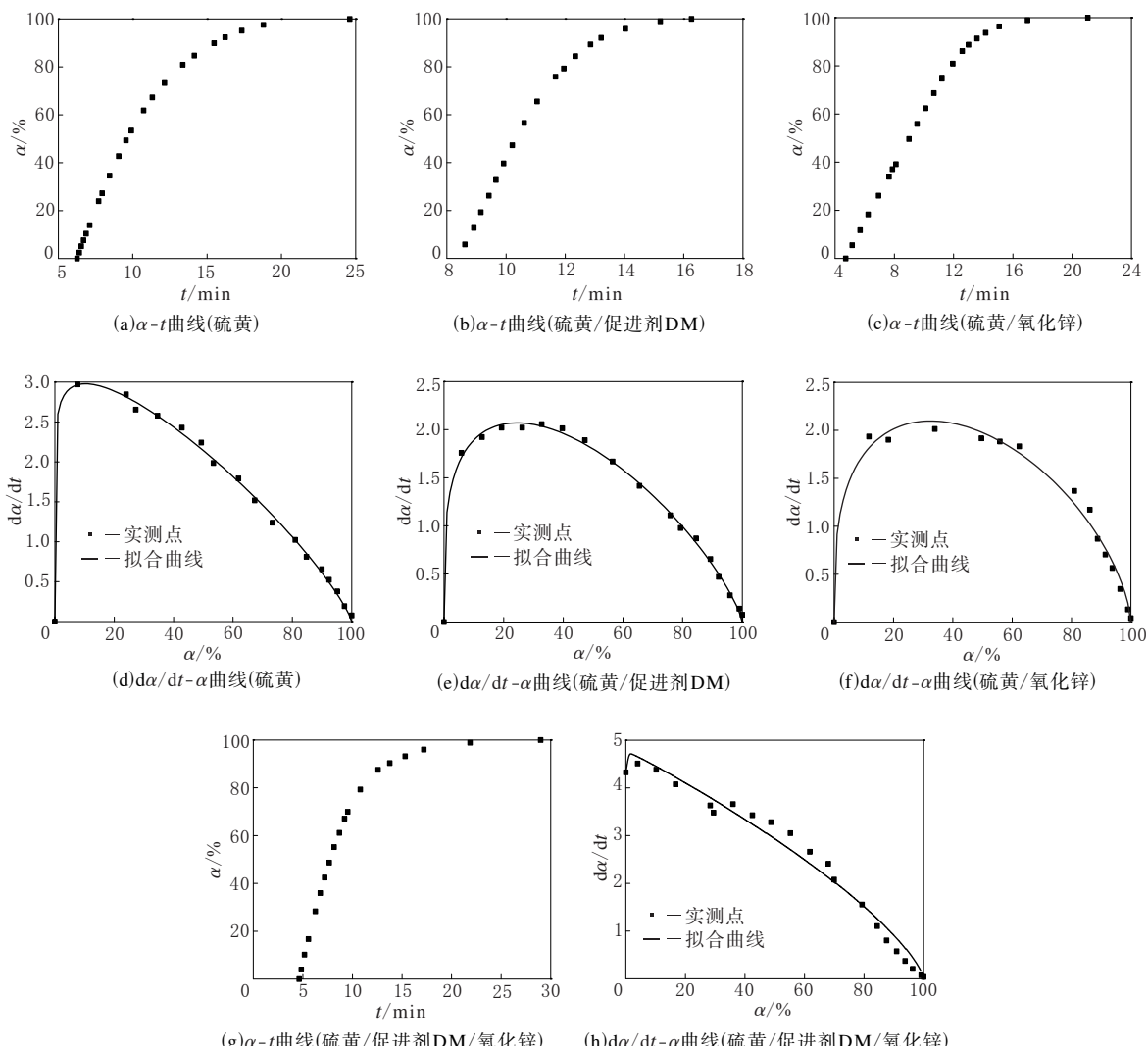


图 2 156 °C 下不同硫化体系 BIIR 胶料的硫化动力学分析

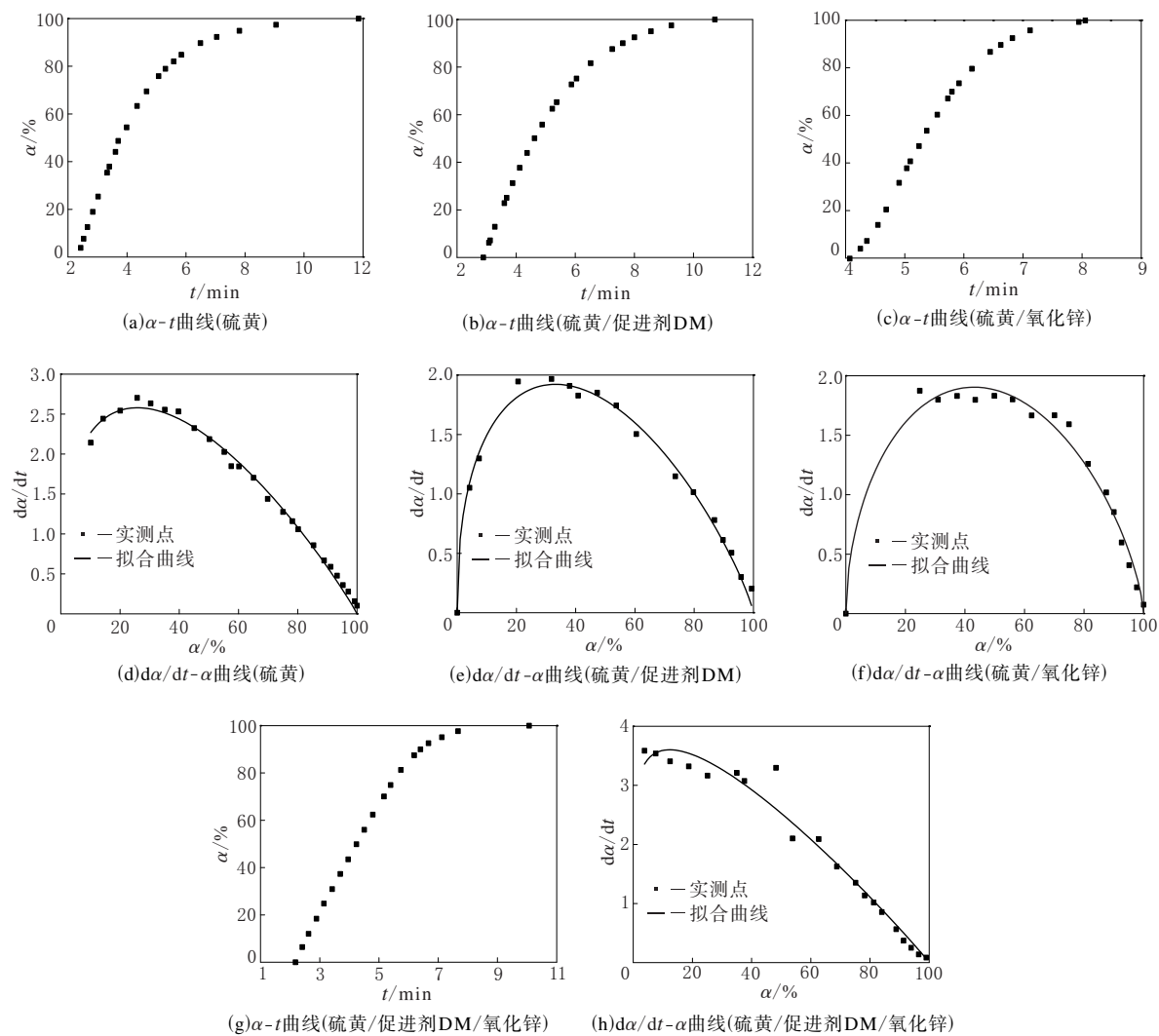


图 3 166 °C 下不同硫化体系 BIIR 胶料的硫化动力学分析

表 2 BIIR 胶料硫黄硫化体系的动力学参数

项 目	$k(T)$	$m$	$n$	相关系数数
<b>硫黄</b>				
156 °C	4.02	0.93	0.82	0.99
166 °C	5.36	0.33	0.94	0.99
<b>硫黄/促进剂 DM</b>				
156 °C	3.68	0.25	0.78	0.99
166 °C	4.28	0.42	0.84	0.99
<b>硫黄/氧化锌</b>				
156 °C	3.82	0.31	0.64	0.99
166 °C	4.42	0.53	0.70	0.98
<b>硫黄/促进剂 DM/氧化锌</b>				
156 °C	4.85	0.004	0.72	0.98
166 °C	5.44	0.13	0.97	0.97

剂 DM、硫黄/氧化锌和硫黄/促进剂 DM/氧化锌进行硫化反应的活化能分别为 45.04, 23.65, 22.84 和 17.98 kJ · mol<sup>-1</sup>。可以看出, 硫黄硫化 BIIR 胶料的硫化活化能最高, 硫黄/促进剂 DM/氧化锌的硫化活化能最低。

### 2.3 物理性能

4 种硫化体系 BIIR 硫化胶的物理性能如表 3 所示。

从表 3 可以看出, 硫黄/促进剂 DM 硫化的 BIIR 硫化胶交联密度最小, 这与硫化特性测试结果保持一致。与硫黄硫化体系相比, 硫黄/促进剂 DM 硫化胶的定伸应力和拉伸强度减小, 拉断伸长率增大, 这说明促进剂 DM 并未起到促进

表3 4种硫化体系 BIIR 硫化胶的物理性能

项 目	硫化体系			
	A	B	C	D
交联密度 $\times 10^4$ /(mol·cm $^{-3}$ )	2.3	1.4	2.3	2.3
邵尔A型硬度/度	47	47	49	48
100%定伸应力/MPa	1.1	0.9	1.6	1.3
300%定伸应力/MPa	5.4	3.5	7.2	5.2
拉伸强度/MPa	9.9	8.8	10.5	9.7
拉断伸长率/%	542	711	475	644
撕裂强度/(kN·m $^{-1}$ )	34	35	33	42

硫化的作用,反而阻碍了硫黄与 BIIR 的交联反应。尽管硫黄、硫黄/氧化锌和硫黄/促进剂 DM/氧化锌硫化胶料的交联密度相同,但硫黄/氧化锌硫化的 BIIR 硫化胶的定伸应力和拉伸强度最大,但拉断伸长率最小,而硫黄/促进剂 DM/氧化锌硫化的 BIIR 硫化胶的定伸应力和拉伸强度与硫黄硫化胶料接近,而拉断伸长率和撕裂强度明显提高,说明三者并用起到了较好的协同作用。

### 3 结论

(1) 硫黄硫化 BIIR 胶料有明显的硫化返原现象发生;加入促进剂 DM 后 BIIR 的硫化程度降低,交联密度下降;加入氧化锌后,硫化返原程度降低,交联密度不变;硫黄/促进剂 DM/氧化锌体系的焦烧时间和正硫化稍有延长,未出现硫化返原现象。

(2) 硫黄、硫黄/促进剂 DM、硫黄/氧化锌和

硫黄/促进剂 DM/氧化锌对 BIIR 的硫化反应均属自催化反应,其中硫黄/促进剂 DM/氧化锌体系的硫化速率常数最大,硫化活化能最低且物理性能良好,具有明显的协同作用。

### 参考文献:

- [1] 杨清芝.现代橡胶工艺学[M].北京:中国石化出版社,1997:80-90.
- [2] 梁星宇.丁基橡胶应用技术[M].北京:化学工业出版社,2004:257-260.
- [3] Scott Parent J, Greg D F White, Darren J Thom, et al. Sulfuration and Reversion Reactions of Brominated Poly(isobutylene-co-isoprene)[J]. Journal of Polymer Science. Part A: Polymer Chemistry, 2003, 41(13):1915-1926.
- [4] 程伟,孙社营,韦璇.交联密度对丁腈橡胶阻尼性能的影响[J].特种橡胶制品,2006,27(4):19-21.
- [5] Hendrikse K G, McGill W J. Vulcanization of Chlorobutyl Rubber. II. A Revised Cationic Mechanism of ZnO/ZnCl<sub>2</sub> Initiated Cross-linking [J]. Journal of Applied Polymer Science, 2000, 78(13):2302-2310.
- [6] 高明亮,阚长华,易玉华,等.橡胶硫化反应动力学概况[J].橡胶工业,2004,51(10):631-635.
- [7] 李咏今.橡胶硫化反应动力学的表征方法[J].特种橡胶制品,1993,14(6):43-48.
- [8] Lo'pez-Manchado M A, Arroyo M, Herrero B. Vulcanization Kinetics of Natural Rubber-Organoclay Nanocomposites[J]. Journal of Applied Polymer Science, 2003, 89(1):1-15.

收稿日期:2014-04-23

## Kinetics of Sulfur Cured BIIR

LI Xin, LI Pei-jun, ZHANG Ping

(Qingdao University of Science and Technology, Qingdao 266042, China)

**Abstract:** The sulfur vulcanization kinetics of BIIR was investigated. The results showed that, the curing rate constant increased in the order of sulfur/accelerator DM curing system< sulfur/zinc oxide< sulfur< sulfur/accelerator DM/zinc oxide. The reaction activation energy decreased in the order of sulfur alone>sulfur/accelerator DM>sulfur/zinc oxide>sulfur/accelerator DM/zinc oxide. The comprehensive physical properties of BIIR vulcanized by sulfur/accelerator DM/zinc oxide were the best, while sulfur and the co-agents showed a significant synergistic effect on the vulcanization.

**Key words:** BIIR; sulfur vulcanization system; vulcanization kinetics